

第 17 节课习题

1. 推导当 vins 中对特征采用逆深度参数时，基于特征匀速模型的重投影误差计算形式

① 推导对特征采用逆深度参数时，基于特征匀速模型的重投影误差计算形式

我们考虑相机相邻两个时刻 i 和时刻 j 有两帧图像 I_i 和 I_j

其中 $\begin{bmatrix} u_{ci} \\ v_{ci} \end{bmatrix}$ 是同一个特征点在该两帧图像上分别经归一化后，归一化相机坐标系上的点

定义 i 时刻特征点的逆深度为 $\lambda_i = \frac{1}{z_{ci}}$

则特征点在相机坐标系 i 下有：

$$\begin{bmatrix} x_{ci} \\ y_{ci} \\ z_{ci} \\ 1 \end{bmatrix} = \frac{1}{\lambda_i} \begin{bmatrix} u_{ci} \\ v_{ci} \\ 1 \end{bmatrix}$$

我们根据相机 i 时刻估计的该特征点的逆深度 λ_i 以及对应的观测到的归一化相机坐标系下的

坐标 $\begin{bmatrix} u_{ci} \\ v_{ci} \end{bmatrix}$ 可以估计该特征点在相机 j 时刻坐标系下的三维坐标 $\begin{bmatrix} x_{cj} \\ y_{cj} \\ z_{cj} \end{bmatrix}$ ：

$$\begin{bmatrix} x_{cj} \\ y_{cj} \\ z_{cj} \\ 1 \end{bmatrix} = T_{bc}^{-1} T_{wbj}^{-1} T_{wbi} T_{bc} \begin{bmatrix} \frac{1}{\lambda_i} u_{ci} \\ \frac{1}{\lambda_i} v_{ci} \\ \frac{1}{\lambda_i} \\ 1 \end{bmatrix}$$

展开成三维坐标形式：

$$\begin{aligned} f_{cj} = \begin{bmatrix} x_{cj} \\ y_{cj} \\ z_{cj} \end{bmatrix} &= R_{bc}^T R_{wbj}^T R_{wbi} R_{bc} \frac{1}{\lambda_i} \begin{bmatrix} u_{ci} \\ v_{ci} \\ 1 \end{bmatrix} \\ &+ R_{bc}^T \left(R_{wbj}^T (R_{wbi} p_{bc} + p_{wbi}) - p_{wbj} \right) - p_{bc} \end{aligned}$$

——→ 假如不考虑时间戳延迟，那么重投影误差为：

$$r_{cj} = \begin{bmatrix} \frac{x_{cj}}{z_{cj}} - u_{cj} \\ \frac{y_{cj}}{z_{cj}} - v_{cj} \end{bmatrix}$$

——→ 如果考虑时间戳延迟的话，需要对观测到的特征点在归一化相机坐标系 i 和 j 下的坐标分别进行延时补偿：

$$z_i^i(td) = \begin{bmatrix} u_{ci} \\ v_{ci} \end{bmatrix} + td V_i^i, \text{ 其中 } V_i^i = \left(\begin{bmatrix} u_{ci}^{i+1} \\ v_{ci}^{i+1} \end{bmatrix} - \begin{bmatrix} u_{ci}^i \\ v_{ci}^i \end{bmatrix} \right) / (t_{i+1} - t_i)$$

$$z_i^j(td) = \begin{bmatrix} u_{cj} \\ v_{cj} \end{bmatrix} + td V_i^j, \text{ 其中 } V_i^j = \left(\begin{bmatrix} u_{cj}^{j+1} \\ v_{cj}^{j+1} \end{bmatrix} - \begin{bmatrix} u_{cj}^j \\ v_{cj}^j \end{bmatrix} \right) / (t_{j+1} - t_j)$$

此时重投影误差 $r_{cj}(td)$ 可计算如下：

$$f_{cj}(td) = \begin{bmatrix} x_{cj}(td) \\ y_{cj}(td) \\ z_{cj}(td) \end{bmatrix} = R_{bc}^T R_{wbj}^T R_{wbi} R_{bc} \frac{1}{\lambda_i} \begin{bmatrix} z_i^i(td) \\ z_i^j(td) \\ 1 \end{bmatrix} + R_{bc}^T \left(R_{wbj}^T (R_{wbi} p_{bc} + p_{wbi}) - p_{wbj} \right) - p_{bc}$$

$$\Rightarrow \text{归一化后的观测值，取前两项：} \hat{z}_i^j(td) = \begin{bmatrix} x_{cj}(td)/z_{cj}(td) \\ y_{cj}(td)/z_{cj}(td) \end{bmatrix}$$

$$\text{那么：} r_{cj}(td) = \hat{z}_i^j(td) - z_i^j(td)$$

2. 阅读论文 [1]，总结基于 B 样条的时间戳估计算法流程，梳理论文公式

对于多传感器系统而言，各个传感器的时间戳同步一直是一个棘手的问题。为了实现测量数据的时间戳同步，我们可以使用基于硬件支持的同步，也可以使用基于软件支持的同步。对于系统中硬件或软件支持的同步都不允许的情况，该论文提出了一种基于 B 样条的在线估计时间戳延迟的算法，并将该算法在 VIO 系统中进行验证和测试。

A. 使用基函数 (Basic Functions) 估计时间延迟 (Time Offsets)

任意时变状态量可以被表达成有限个基函数的加权和。比如 D 维状态量 $\mathbf{x}(t)$ 可以写成：

$$\Phi(t) := [\phi_1(t) \quad \dots \quad \phi_B(t)], \quad \mathbf{x}(t) := \Phi(t)\mathbf{c},$$

其中每一个 $\phi_b(t)$ 是 Dx1 维时间函数， $\Phi(t)$ 是 DxB 维累积基矩阵(stacked basis matrix)，这样一来，估计 D 维状态量 $\mathbf{x}(t)$ 就变成了估计 Bx1 维系数向量 \mathbf{c} 。

当测量数据 y_j 的时间戳为 t_j ，而估计的状态量 $\mathbf{x}(t_j)$ 存在延时 d 时，误差项可写为：

$$\mathbf{e}_j := y_j - \mathbf{h}(\mathbf{x}(t_j + d)),$$

其中 $\mathbf{h}(\cdot)$ 为测量模型，用于将状态量映射为测量值。我们可以使用一般的优化算法来优化这个非线性误差项得到延时 d 。误差项可近似表示成一阶泰勒展开的形式：

$$\mathbf{e}_j \approx y_j - \mathbf{h}(\Phi(t_j + \bar{d})\mathbf{c}) - \mathbf{H}\dot{\Phi}(t_j + \bar{d})\mathbf{c}\Delta d,$$

其中

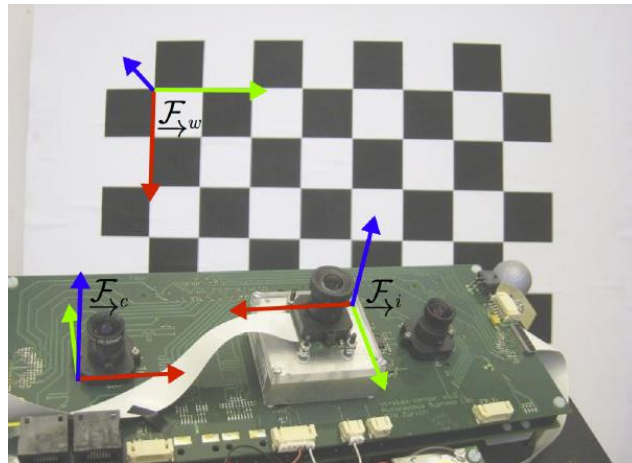
$$\mathbf{H} := \left. \frac{\partial \mathbf{h}}{\partial \mathbf{x}} \right|_{\mathbf{x}(\Phi(t_j + \bar{d})\mathbf{c})}$$

时间导数 $\dot{\Phi}(t)$ 是可以解析求得的。

将估计问题转化为这种基函数的形式有利于我们后续使用 ML 算法，并且雅可比也可以解析求得的。

B. 应用于 Camera/IMU 的标定

Camera/IMU 的标定主要是为了标定相机和 IMU 之间的相对旋转和平移，以及两个传感器之间的延时。世界坐标系 \mathcal{F}_w ，相机坐标系 \mathcal{F}_c ，IMU 坐标系 \mathcal{F}_i 的设定如下图所示：



我们主要估计的时不变参数有重力 \mathbf{g}_w ，相机坐标系和 IMU 坐标系之间的变换矩阵 $\mathbf{T}_{c,i}$ ，相机和 IMU 之间的延时 d 。估计的时变参数有 IMU 的实时位姿 $\mathbf{T}_{w,i}(t)$ ，加速度计的 bias ($\mathbf{b}_a(t)$)，以及角速度计的 bias ($\mathbf{b}_\omega(t)$)。

正如 A 部分中提到的，时变状态量可以表示成 B 样条函数的形式。其中 IMU 的位姿 $\mathbf{T}_{w,i}(t)$ 可以参数化为 6x1 的样条(spline)，表示 3 自由度旋转和 3 自由度平移：

$$\mathbf{T}_{w,i}(t) := \begin{bmatrix} \mathbf{C}(\boldsymbol{\varphi}(t)) & \mathbf{t}(t) \\ \mathbf{0}^T & 1 \end{bmatrix}$$

其中 $\boldsymbol{\varphi}(t) := \Phi_{\varphi}(t)\mathbf{c}_{\varphi}$ 是代表旋转的参数, $\mathbf{C}(\cdot)$ 将其转换为旋转矩阵。 $\mathbf{t}(t) := \Phi_t(t)\mathbf{c}_t$ 表示平移。

世界坐标系下的速度 $\mathbf{v}(t)$ 和加速度 $\mathbf{a}(t)$ 可以由下式计算得到:

$$\mathbf{v}(t) = \dot{\mathbf{t}}(t) = \dot{\Phi}_t(t)\mathbf{c}_t, \quad \mathbf{a}(t) = \ddot{\mathbf{t}}(t) = \ddot{\Phi}_t(t)\mathbf{c}_t$$

对于给定的旋转参数 $\boldsymbol{\varphi}(t)$, 角速度可表达为:

$$\boldsymbol{\omega}(t) = \mathbf{S}(\boldsymbol{\varphi}(t))\dot{\boldsymbol{\varphi}}(t) = \mathbf{S}(\Phi(t)\mathbf{c}_{\varphi})\dot{\Phi}(t)\mathbf{c}_{\varphi}$$

$\mathbf{S}(\cdot)$ 是与角速度相关的参数化矩阵, 比如使用角轴进行表示

$$\text{angle } \boldsymbol{\varphi}(t) = \sqrt{\boldsymbol{\varphi}(t)^T \boldsymbol{\varphi}(t)} \quad \text{axis } \boldsymbol{\varphi}(t)/\boldsymbol{\varphi}(t)$$

为了标定相机和 IMU, 这里收集了 $T = [t_1, t_K]$ 大概 1-2 分钟的测量数据。这里使用一般的离散时间的 IMU 和相机测量公式:

$$\begin{aligned} \boldsymbol{\alpha}_k &:= \mathbf{C}(\boldsymbol{\varphi}(t_k))^T (\mathbf{a}(t_k) - \mathbf{g}_w) + \mathbf{b}_a(t_k) + \mathbf{n}_{a_k}, \\ \boldsymbol{\varpi}_k &:= \mathbf{C}(\boldsymbol{\varphi}(t_k))^T \boldsymbol{\omega}(t_k) + \mathbf{b}_{\omega}(t_k) + \mathbf{n}_{\omega_k}, \\ \mathbf{y}_{mj} &:= \mathbf{h}(\mathbf{T}_{c,i}\mathbf{T}_{w,i}(t_j + d)^{-1}\mathbf{p}_w^m) + \mathbf{n}_{y_{mj}}, \end{aligned}$$

其中 t_k , where $k = 1 \dots K$ 表示 IMU 采样时间, $\boldsymbol{\alpha}_k$ 为加速度计测量值, $\boldsymbol{\varpi}_k$ 为角速度计测量值。

t_j and $j = 1 \dots J$ 为相机采样时间, d 为相机和 IMU 之间的延时, 可正可负。 $\{\mathbf{p}_w^m | m = 1 \dots M\}$ 为观测到特征点的世界坐标系下的坐标, \mathbf{y}_{mj} 为第 m 个路标点在第 j 帧图像内的观测。

$\mathbf{n} \sim \mathcal{N}(\mathbf{0}, \mathbf{R})$ 表示为各测量值的高斯白噪声, 它们相互之间独立。 $\mathbf{h}(\cdot)$ 为相机非线性模型。

我们使用维纳过程来建模 bias 随机游走:

$$\begin{aligned} \dot{\mathbf{b}}_a(t) &= \mathbf{w}_a(t) & \mathbf{w}_a(t) &\sim \mathcal{GP}(\mathbf{0}, \mathbf{Q}_a \delta(t - t')) \\ \dot{\mathbf{b}}_{\omega}(t) &= \mathbf{w}_{\omega}(t) & \mathbf{w}_{\omega}(t) &\sim \mathcal{GP}(\mathbf{0}, \mathbf{Q}_{\omega} \delta(t - t')) \end{aligned}$$

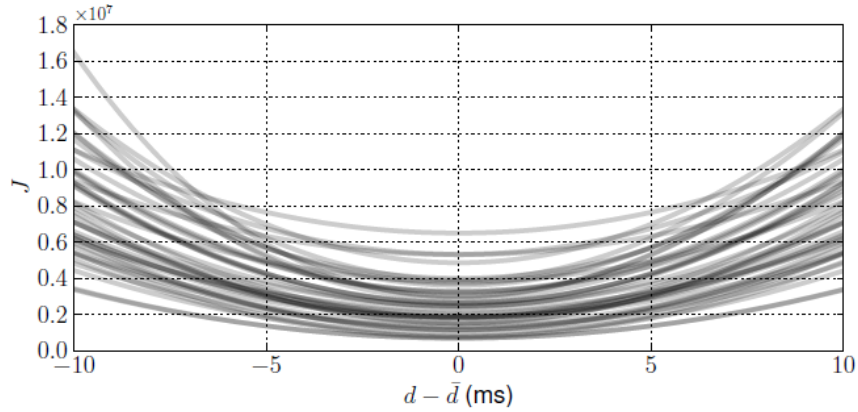
至此我们可以定义出五个量(视觉测量, 加速度, 角速度, 加速度 bias, 角速度 bias)的估计误差项, 以及它们的损失函数:

$$\begin{aligned}
\mathbf{e}_{y_{mj}} &:= \mathbf{y}_{mj} - \mathbf{h}(\mathbf{T}_{c,i} \mathbf{T}_{w,i}(t_j + d)^{-1} \mathbf{p}_w^m) \\
J_y &:= \frac{1}{2} \sum_{j=1}^J \sum_{m=1}^M \mathbf{e}_{y_{mj}}^T \mathbf{R}_{y_{mj}}^{-1} \mathbf{e}_{y_{mj}} \\
\mathbf{e}_{\alpha_k} &:= \boldsymbol{\alpha}_k - \mathbf{C}(\varphi(t_k))^T (\mathbf{a}(t_k) - \mathbf{g}_w) + \mathbf{b}_a(t_k) \\
J_\alpha &:= \frac{1}{2} \sum_{k=1}^K \mathbf{e}_{\alpha_k}^T \mathbf{R}_{\alpha_k}^{-1} \mathbf{e}_{\alpha_k} \\
\mathbf{e}_{\omega_k} &:= \boldsymbol{\varpi}_k - \mathbf{C}(\varphi(t_k))^T \boldsymbol{\omega}(t_k) + \mathbf{b}_\omega(t_k) \\
J_\omega &:= \frac{1}{2} \sum_{k=1}^K \mathbf{e}_{\omega_k}^T \mathbf{R}_{\omega_k}^{-1} \mathbf{e}_{\omega_k} \\
\mathbf{e}_{b_a}(t) &:= \dot{\mathbf{b}}_a(t) \\
J_{b_a} &:= \frac{1}{2} \int_{t_1}^{t_K} \mathbf{e}_{b_a}(\tau)^T \mathbf{Q}_a^{-1} \mathbf{e}_{b_a}(\tau) d\tau \\
\mathbf{e}_{b_\omega}(t) &:= \dot{\mathbf{b}}_\omega(t) \\
J_{b_\omega} &:= \frac{1}{2} \int_{t_1}^{t_K} \mathbf{e}_{b_\omega}(\tau)^T \mathbf{Q}_\omega^{-1} \mathbf{e}_{b_\omega}(\tau) d\tau
\end{aligned}$$

LM 算法通过最小化所有损失函数和 $J := J_y + J_\alpha + J_\omega + J_{b_a} + J_{b_\omega}$ 来一次性估计所有带待估计参数。

C. 实验结果

将算法部署到 VIO 系统中，使用 LM 算法来离线估计出采集到的 Camera 和 IMU 的数据之间的延时情况。论文测试了不同延时大小情况下，损失函数随着延时变化的情况。通过下图，论文作者发现损失函数表现为凸，最小值一直在 \bar{d} 附近，可以使用该算法有效地估计出相机和 IMU 之间的延时。



3. 推导初始化时旋转误差 Eq.(17) 对时间戳延迟 t_d 的雅可比，参考论文 [2] 附录 D

首先根据课堂上给出的公式[17]:

初始化阶段，相机关键帧的姿态通过 VO/SFM 等可求解，有

$$\mathbf{R}_{wb_i} = \mathbf{R}_{wc_i, t_d} \mathbf{R}_{cb}, \quad \mathbf{R}_{wb_j} = \mathbf{R}_{wc_j, t_d} \mathbf{R}_{cb} \quad (15)$$

跟 IMU 预积分旋转分量构建误差，如下（可回顾 vio 初始化章节）

$$\mathbf{e}_R = \log \left(\Delta \bar{\mathbf{R}}_{i,j} \mathbf{R}_{wb_i}^\top \mathbf{R}_{wb_j} \right) \quad (16)$$

考虑陀螺仪 bias, 时间延迟 t_d 有:

$$\begin{aligned} \mathbf{e}_{rot_{i,j}} = & \log \left(\left(\Delta \bar{\mathbf{R}}_{i,j} \text{Exp} \left(\mathbf{J}_{\Delta \bar{\mathbf{R}}}^g \delta \mathbf{b}_g \right) \right)^\top \mathbf{R}_{bc} \right. \\ & \cdot \text{Exp}(-\omega_{c_i} t_d) \mathbf{R}_{c_i w} \mathbf{R}_{wc_{i+1}} \text{Exp}(\omega_{c_{i+1}} t_d) \mathbf{R}_{cb} \left. \right) \end{aligned} \quad (17)$$

论文[2]中给出了该误差项对时间戳延迟 t_d 的雅可比的推导过程:

Letting $\mathbf{R}_1'' = (\Delta \bar{\mathbf{R}}_{i,j} \text{Exp}(\mathbf{J}_{\Delta \bar{\mathbf{R}}}^g \delta \mathbf{b}_g))^\top \bar{\mathbf{R}}_c^b$, $\mathbf{R}_2'' = \mathbf{R}_w^{c_i} \mathbf{R}_{c_j}^w$, and $\mathbf{R}_3'' = \mathbf{R}_b^c$, we have:

$$\begin{aligned} & \mathbf{e}_{rot}(t_d + \delta t_d) \\ &= \text{Log}(\mathbf{R}_1'' \text{Exp}(-\omega_{c_i}(t_d + \delta t_d)) \mathbf{R}_2'' \text{Exp}(\omega_{c_j}(t_d + \delta t_d)) \mathbf{R}_3'') \\ &\stackrel{(38)}{\approx} \text{Log}(\mathbf{R}_1'' \text{Exp}(-\mathbf{J}_l^i \omega_{c_i} \delta t_d) \text{Exp}(-\omega_{c_i} t_d) \mathbf{R}_2'' \\ &\quad \cdot \text{Exp}(\omega_{c_j} t_d) \text{Exp}(\mathbf{J}_r^j \omega_{c_j} \delta t_d) \mathbf{R}_3'') \\ &\stackrel{(36)}{=} \text{Log}(\text{Exp}(-\mathbf{R}_1'' \mathbf{J}_l^i \omega_{c_i} \delta t_d) \mathbf{R}_1'' \text{Exp}(-\omega_{c_i} t_d) \mathbf{R}_2'' \\ &\quad \cdot \text{Exp}(\omega_{c_j} t_d) \mathbf{R}_3'' \text{Exp}(\mathbf{R}_3''^T \mathbf{J}_r^j \omega_{c_j} \delta t_d)) \\ &= \text{Log}(\text{Exp}(-\mathbf{R}_1'' \mathbf{J}_l^i \omega_{c_i} \delta t_d) \text{Exp}(\mathbf{e}_{rot}(t_d)) \\ &\quad \cdot \text{Exp}(\mathbf{R}_3''^T \mathbf{J}_r^j \omega_{c_j} \delta t_d)) \\ &\stackrel{(36)}{=} \text{Log}(\text{Exp}(\mathbf{e}_{rot}(t_d)) \text{Exp}(-\text{Exp}(\mathbf{e}_{rot}(t_d))^T \mathbf{R}_1'' \mathbf{J}_l^i \omega_{c_i} \delta t_d) \\ &\quad \cdot \text{Exp}(\mathbf{R}_3''^T \mathbf{J}_r^j \omega_{c_j} \delta t_d)) \\ &= \text{Log}(\text{Exp}(\mathbf{e}_{rot}(t_d)) \text{Exp}(D \cdot \delta t_d) \text{Exp}(E \cdot \delta t_d)) \\ &\stackrel{(35)}{\approx} \text{Log}(\text{Exp}(\mathbf{e}_{rot}(t_d)) (\mathbf{I} + (D + E) \delta t_d)) \\ &\stackrel{(35)}{\approx} \text{Log}(\text{Exp}(\mathbf{e}_{rot}(t_d)) \text{Exp}((D + E) \delta t_d)) \\ &\stackrel{(37)}{\approx} \mathbf{e}_{rot}(t_d) + \mathbf{J}_r^{-1}(\mathbf{e}_{rot}(t_d)) ((D + E) \delta t_d), \end{aligned} \quad (49)$$

with $\mathbf{J}_l^i \doteq \mathbf{J}_l(-\omega_{c_i} t_d)$, $\mathbf{J}_r^j \doteq \mathbf{J}_r(\omega_{c_j} t_d)$, $D \doteq -\text{Exp}(\mathbf{e}_{rot}(t_d))^T \mathbf{R}_1'' \mathbf{J}_l^i \omega_{c_i}$, and $E \doteq \mathbf{R}_3''^T \mathbf{J}_r^j \omega_{c_j}$. Summariz-

$$\rightarrow \frac{\partial \mathbf{e}_{rot}}{\partial \delta t_d} = \mathbf{J}_r^{-1}(\mathbf{e}_{rot}(t_d)) (D + E).$$

参考文献:

- [1] Paul Furgale, Joern Rehder, and Roland Siegwart. "Unified temporal and spatial calibration for multi-sensor systems". In: 2013 IEEE/RSJ International Conference on Intelligent Robots and Systems. IEEE. 2013, pp. 1280–1286.
- [2] Weibo Huang, Hong Liu, and Weiwei Wan. "Online initialization and extrinsic spatial-temporal calibration for monocular visual-inertial odometry". In: arXiv preprint arXiv:2004.05534 (2020)